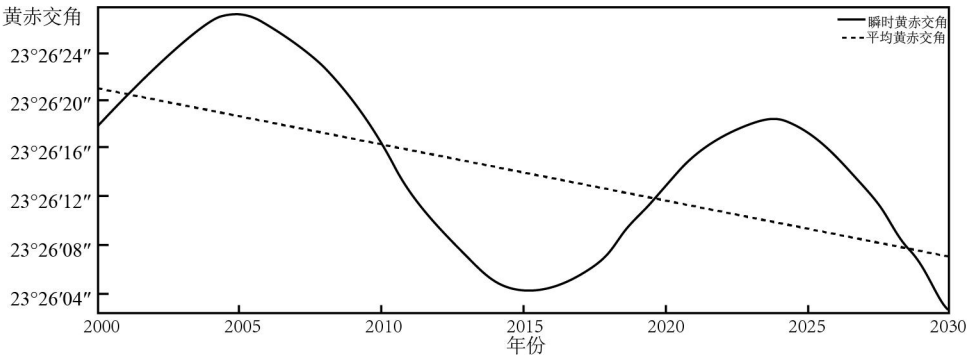
2025福鼎一中高三地理选择题专练（五）

学校:_____姓名：_____班级：_____考号：_____

2023年12月22日，北京时间11：27：09，我们迎来冬至时刻。图为“2000～2030年平均地轴倾角（黄赤交角）与实际的瞬时地轴倾角关系图”。据此完成下面小题。



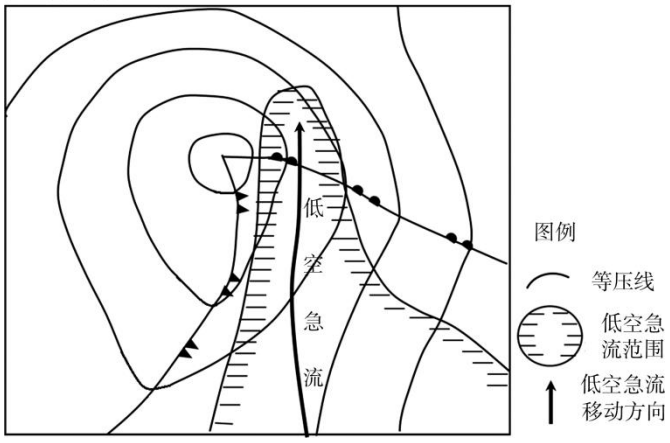
1．此时西半球与北京同属一天的地区，约占全球范围的（　）

A．15%　　B．20%　　C．25%　　D．30%

2．根据图中平均黄赤交角的变化趋势，2000年至2030年，冬至日（　）

A．泰州昼长变长 B．北京日落位置更偏南 C．极夜范围变大D．悉尼的太阳高度变大

低空急流是一种发生在对流层低层强而窄的气流（大气高度<2000m，风速>6m/s），它常来自热带洋面，起着向低空大气输送热量、水汽和动量的作用。当它运动到较干、较冷空气的下方时，就形成了对流性不稳定结构，容易产生暴雨、冰雹等对流性降水天气，暴雨多产生于低空急流的左前方。低空急流移动速度具有明显的日变化，一般情况下，在日落时开始增大，日出前达到最大值。下图为低空急流示意图。据此完成下面小题。



3．暴雨多产生于低空急流的左前方，主要原因是（　）

①左前方为低压中心

②受地转偏向力影响较小

③容易与来自较高纬度的干冷空气相遇

④左侧区域水汽含量更大

A．①②　　B．①③

C．②③　　D．③④

4．低空急流移动速度具有明显日变化，主要原因是（　）

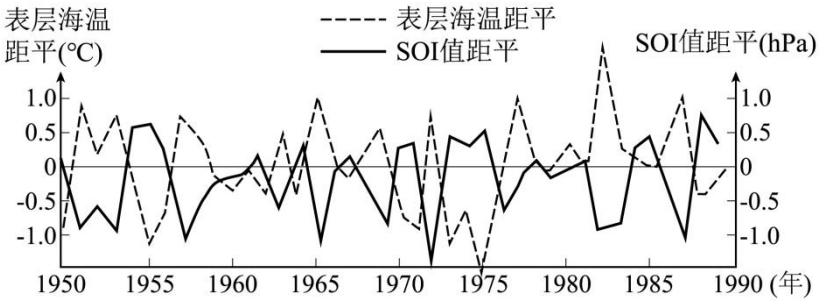
A．白天地面气温较高，对流活动旺盛，低空急流受到的摩擦阻力较大

B．白天人类活动繁忙，近地面空气流动较快，降低了低空急流的速度

C．夜间地面气温较低，近地面空气相对较稳定，不利于低空急流通过

D．夜间人类活动繁忙，近地面空气流动较慢，加快了低空急流的速度

表层海水温度与大气之间存在相互作用的关系。下图示意1950年至1990年间赤道南部东太平洋（0°—10°S,180°—90°W)表层海水温度与大气之间的相关性。表层海温距平是指该海域表层海水温度与多年平均值的差值。SOI值距平是指南太平洋副热带高压与赤道低压之间的气压差与多年平均值的差值。据此完成下面小题。



5．该海域表层海水温度与大气相互作用关系对应正确的是（　）

A．SOI 值距平高时，信风强，海面温度低

B．SOI 值距平低时，信风强，海面温度高

C．海面温度降低，信风减弱，SOI 值距平升高

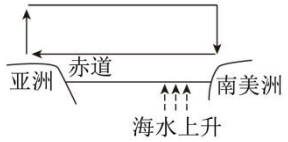
D．海面温度升高，副热带高压增强,SOI 值距平升高

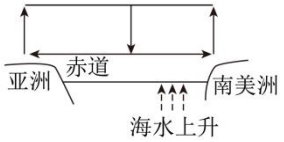
6．当 SOI 值距平为负且数值较大时（　）

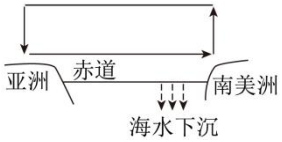
A．东太平洋赤道附近降水偏少　　B．秘鲁寒流增强

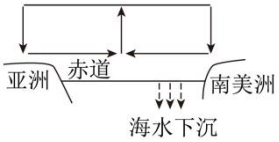
C．减少海洋向大气释放的二氧化碳数量　D．秘鲁渔场渔业增产

7．下图中能正确表示 SOI 值距平为正且数值较大时太平洋赤道地区大气环流状况的是（　）

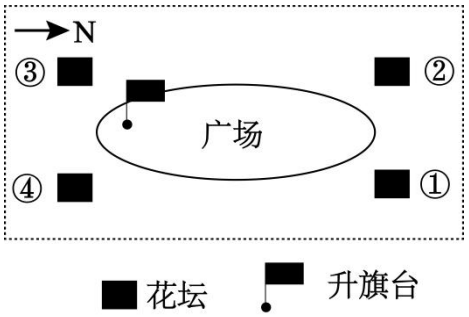
A． 

B． 

C． 

D． 

2024 年 7 月某日，某学校 $(105^{\circ}\mathrm{E},40^{\circ}\mathrm{N})$ 地理兴趣小组成员观测并记录了学校广场旗杆日影变化，该日北京时间 a 时发现杆影正好指向花坛①。下图为该学校广场平面示意图。据此完成下面小题。



8．该日学校广场杆影正好指向花坛②的北京时间约是（

A．(a-12) 时　　B．(24 - a)时

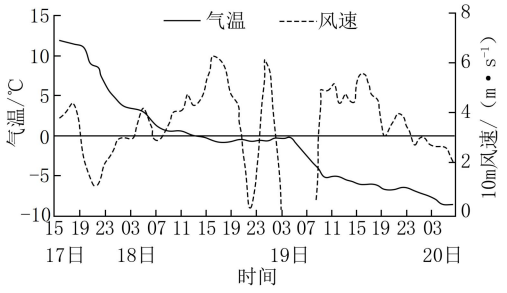
C．(25 - a)时　　D．(26-a) 时

9．此日之后三个月内，若该地理兴趣小组成员持续观测杆影日变化，会发现（　）

A．日落时杆影渐偏北　B．日内杆影转过角度变大

C．正午杆影逐渐变短　　D．杆影每日均能经过③④

2020 年 11 月 17—20 日，吉林省出现了大范围冰冻雨雪天气，其间伴有东北地区罕见的冻雨天气。高空的雪花落入暖层融化为雨滴，再下落至地面冷冻层（-3～0℃）。受冻雨影响，长春气象站风速仪出现数据异常。下图为长春气象站测得的风速和气温时序图。据此完成下面小题。



10．吉林省冻雨出现时，大气垂直温度场自下而上的结构为（　）

A．暖—冷—暖　B．冷—暖—冷

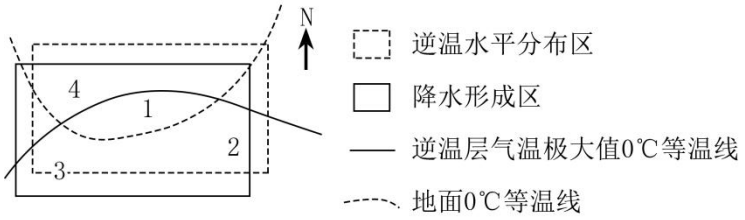
C．冷—暖　　D．暖一冷

11．据图推测此次冻雨最早出现时间约为（　）

A．18 日 4 时　　B．18 日 12 时

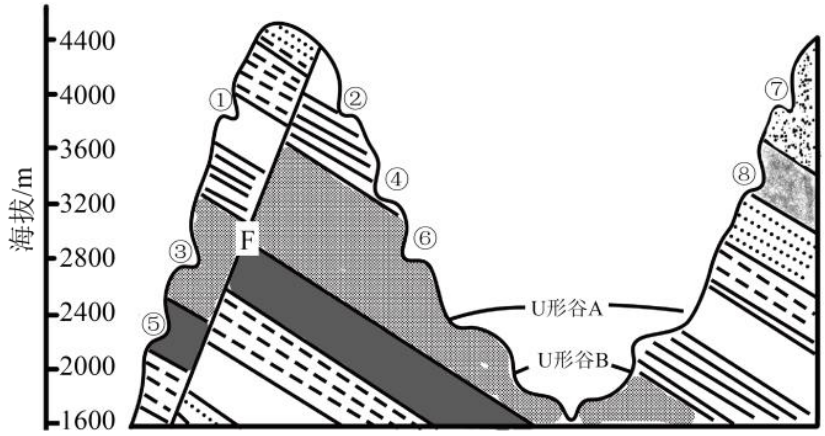
C．18 日 15 时　　D．19 日 3 时

12．下图为冻雨分布模式图，长春气象站最可能位于图中（　）



A．1 处　　B．2 处　　C．3 处　　D．4 处

冰斗和 U 形谷是典型的冰蚀地貌，因冰斗底部高度与其形成时当地的雪线基本相当，故常依据不同时期冰斗位置来分析气候变化规律，用 U 形谷特征判断冰川活动期次和规模。下图是根据我国西北某山区冰蚀地貌特征而绘制的模式化图（忽略局地因素影响）。图中冰斗①～⑧分三期形成，受外力破坏微弱，形态完好；F 为断层，它改变了冰斗③和⑤的原始位置。完成下面小题。



13．图中冰斗形成由老到新排序正确的是（　）

A．⑤⑥①　　B．③⑥⑧

C．⑤⑧②　　D．③④⑦

14．下列关于 U 形谷形成顺序和冰川活动规模描述正确的是（　）

A．U 形谷 A 形成早于 U 形谷 B 规模减小

B．U 形谷 A 形成早于 U 形谷 B 规模增大

C．U 形谷 B 形成早于 U 形谷 A 规模减小 D．U 形谷 B 形成早于 U 形谷 A 规模增大

15．该地冰蚀地貌模式图说明当地气候（　）

A．持续性变冷　B．持续性变暖　　C．间歇性变冷　　D．间歇性变暖

R 县被称为“中国北方服装名城”，拥有多个从事服装、箱包、毛绒玩具等商品的淘宝村。R 县 G 村早期主要从事农业种植和拆解电梯、贩卖废旧电梯金属品的活动，2015 年因一家电梯公司从村民手中高价回收了电梯二手电子板，部分村民率先抓住商机在淘宝网上售卖二手电梯配件。随后几年，村内淘宝户数量爆发式增长，现在 G 村已成为远近闻名的“产业孤岛型”电梯淘宝村。据此完成下面小题。

16．G 村成为“产业孤岛型”淘宝村的因素有（　）

①偶然机会②科技创新③市场需求④独特的地理位置⑤产业基础的地理隔离

A．①②③　　B．①③⑤　　C．②④⑤　　D．③④⑤

17．G 村电子商务的乡村重构作用表现为（　）

A．经济重构作用明显，空间重构、社会重构作用不明显

B．经济重构作用不明显，空间重构、社会重构作用明显

C．对本村明显，对整个 R 县不明显　D．对本村及整个 R 县均很明显

下表示意俄罗斯东部四地区 1990～2010 年人口数量的变化情况。据此完成下面小题。

地区	出生人口数量/万	死亡人口数量/万人	人口增长数量/万
甲	35.78	20.12	-18.64
乙	8.73	8.71	-16.72
丙	50.40	62.69	-36.33
丁	38.75	43.64	-29.56

18．四地中，人口净迁出数量最多的是（　）

A．甲地　　B．乙地　　C．丙地　　D．丁地

19．四地中，人口自然增长率最高的应是（　）

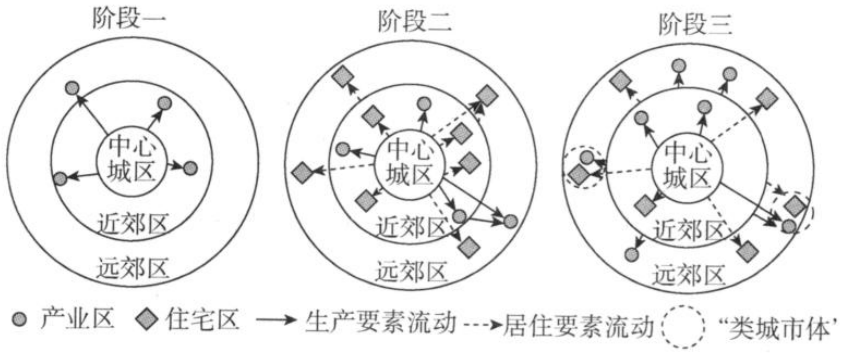
A．甲地　　B．乙地　　C．丙地　　D．丁地

20．四地人口的变动可能导致其（　）

A．青壮年就业压力增大　　B．城区住房价格上升

C．人口老龄化程度加剧　　D．城区环境污染加剧

伴随城市空间加速向郊区扩张，远郊区域得到快速发展，其功能的完善性、独立性使之具备城市特性，形成“类城市体”，学者将此现象称为后郊区化。研究表明，目前上海正逐步进入后郊区化阶段。下图示意 1949 年至今上海市后郊区化空间发育模式。据此完成下面小题。



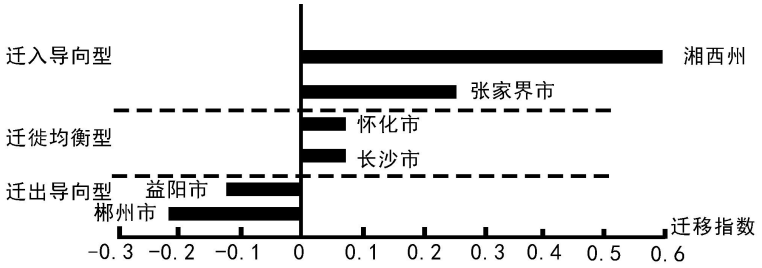
21．正向通勤指居住在郊区、工作在中心城区的通勤，反之称为逆向通勤。图中正向通勤和逆向通勤最突出的分别是（　）

A．阶段二、阶段三 B．阶段二、阶段一 C．阶段三、阶段二　　D．阶段三、阶段一

22．与近郊区相比，上海市远郊区更易成为功能复合完善的“类城市体”，主要原因是（　）

A．对周边城市辐射更强 B．生产成本低廉 C．受中心城区辐射较小　D．劳动力数量多

根据迁入人口和迁出人口数量的对比关系，可以将湖南省的城市分为迁出导向型、迁徙均衡型、迁入导向型。下图示意 2020 年 9 月~2020 年 12 月湖南省部分城市人口迁移类型及迁移指数（绝对值越大，净迁移规模占当地总人口的比例越大）。据此完成下面小题。



23．湖南省省会长沙市人口迁移类型属迁徙均衡型，推测其具体表现为（　）

①迁出人口以高学历人才为主②迁出人口以返乡青年为主③迁入人口主要来自省外④迁入人口以追求经济收益为主要目的

A．①③　　B．①④　　C．②③　　D．②④

24．湘西州和张家界市迁入人口主要从事（　）

A．交通物流　　B．农村电商　　C．旅游行业　　D．工程建设

25．为改善图示城市人口迁移现状，建议（　）

A．长沙市提高人口准入门槛　　B．郴州市疏解传统工业部门

C．怀化市推动高科技产业发展　　D．湘西州严审土地用途置换

2025福鼎一中高三地理选择题专练（四）参考答案

题号	1	2	3	4	5	6	7	8	9	10
答案	A	A	B	A	A	C	A	D	A	B
题号	11	12	13	14	15	16	17	18	19	20
答案	C	A	B	A	B	B	C	A	A	C
题号	21	22	23	24	25					
答案	B	C	B	C	C					

1．A　　2．A

【解析】1．北京位于东八区，此时北京时间为2023年12月22日11：27：09，西三区时间为12月22日0:27:09。全球与北京同为一天的时间范围是西三区向东到东十二区，即52.5°W向东至180°，西半球的范围是20°W以西、160°E以东，则此时西半球与北京同属一天的地区范围为：52.5°W向东至20°W以及160°E以东至180°，共（32.5°+20°）÷360°≈14.58%，A最符合题意，排除BCD，故选A。

2．图中平均黄赤交角的变化趋势整体表现为逐渐减小，即2000年至2030年冬至日太阳直射点的位置逐渐北移，泰州位于北半球，冬至日昼长变长，A正确；随着冬至日太阳直射点的位置逐渐北移，当天太阳日出日落逐年位置偏北，当天极昼极夜的范围变小，BC错误；悉尼位于南回归线以南地区，冬至日太阳直射点位置北移，同一时刻悉尼的太阳高度减小，D错误。故选A。

【点睛】昼夜长短的变化规律：春、秋分日，全球昼夜等长；太阳直射哪个半球，哪个半球就昼长夜短(昼长大于12h)；太阳直射点向哪个半球移动，哪个半球的昼就变长；夏至日，北半球昼长夜短目在一年中昼最长夜最短，南半球昼短夜长且在一年中昼最短夜最长，且越往北昼越长夜越短，越往南昼越短夜越长，北极圈及其以北出现极昼，南极圈及其以南出现极夜；冬至日相反。

3．B　　4．A

【解析】3．低空急流与暴雨产生的关系暴雨多产生于低空急流的左前方，这是因为低空急流本身带来大量水气，它的左前方是低压中心，容易与来自较高纬度的干冷空气相遇，形成对流性不稳定结构，从而产生暴雨，B①③正确，④错误。地转偏向力对暴雨形成并非主要影响因素，暴雨形成主要与冷暖空气交汇、水汽等有关，②错误。排除ACD。故选B。

4．白天地面气温较高，对流活动旺盛，空气的垂直运动强烈，使得低空急流受到的摩擦阻力较大，从而速度相对较慢；而夜间地面气温较低，对流活动减弱，低空急流受到的摩擦阻力减小，所以在日落时开始增大，日出前达到最大值，A正确。人类活动对近地面空气流动影响相对较小，不是导致低空急流速度日变化的主要原因，B错误。夜间地面气温较低，近地面空气相对较稳定，反而有利于低空急流通过，C错误。夜间人类活动并不繁忙，且人类活动对低空急流速度影响不大，D错误。故选A。

【点睛】低空急流的左前方易产生暴雨，这一现象背后是水汽、冷暖空气交汇等多种因素的综合作用，夜间因稳定层结加强，白天受湍流抑制减弱。

5．A　　6．C　　7．A

【解析】5．结合材料中的SOI值距平和表层海温距平的定义可知，SOI值距平高，表明南太平洋副热带高压和赤道低压气压差（SOI值）大；表层海温距平高，表明当地海温偏高。读图可知，表层海温距平与SOI值距平大致呈负相关。 SOI值低时，表示南太平洋副热带高压与赤道低压之间的气压差小，副热带高压弱，东南信风减弱，则赤道逆流输送到东部的热量多，赤道东太平洋海域水温较高，B错误；SOI高时，南太平洋副热带高压与赤道低压之间的气压差大，东南信风增强，则赤道逆流输送到东部的热量少，赤道东太平洋海域水温

较低，A 正确。海面温度降低，表层海温距平低，则 SOI 值距平高，表明南太平洋副热带高压和赤道低压气压差（SOI 值）大，信风势力强，C 错误；海面温度升高，海温距平高，SOI 值距平降低，D 错误。故选 A。

6．当 SOI 值距平为负且数值较大时，信风势力弱，南太平洋水温上升，出现厄尔尼诺现象。因此秘鲁寒流减弱，东太平洋赤道附近降水增多，秘鲁渔场渔业减产，厄尔尼诺现象能减缓富含二氧化碳的上泛冷水的上移速度，从而减少海洋向大气释放的二氧化碳数量，C 正确，ABD 错误。故选 C。

7．当 SOI 值距平为正且数值较大时，即拉尼娜现象出现，太平洋赤道中东部海区海温持续异常偏低，该处气流下沉；与此相反，太平洋赤道西部海区海温相对较高，气流上升。因此在赤道上空形成顺时针方向的大气环流，A 正确，BCD 错误。故选 A。

【点睛】在极端性天气现象中，有两个最为人们熟悉的极端天气，那就是“厄尔尼诺”现象和“拉尼娜”现象。“厄尔尼诺”现象发生时，通常会发生反向性极端天气，比如“该热不热、该冷不冷、该雨不雨、该旱不旱”等等。“拉尼娜”现象发生时，通常会发生加剧性极端天气，比如“该热更热、该冷更冷、该雨更雨、该旱更旱”等等。

8．D　　9．A

【解析】8．学校经度为 105°E，北京时间是 120°E 的地方时，两地经度相差 15°，时间相差 1 小时，120°E 比 105°E 偏东 15°，所以北京时间比学校当地时间早 1 小时，即当学校所在地地方时为 12 时，对应北京时间为 13 时。且花坛①与②与旗杆的连线关于正北方向对称，所以杆影指向①和②的地方时应关于 12 时对称，即应该关于北京时间 13:00 对称。北京时间 a 时指向花坛①，花坛①位于旗杆东北，说明太阳此时位于西南，正值下午，因此杆影正好指向花坛②时为上午，据此可计算得知杆影正好指向花坛②的北京时间约是 13 时－（a－13）时=(26-a) 时。D 正确，ABC 错误，故选 D。

9．此日之后三个月内，太阳直射点向南移动。学校位于(105°E，40°N)，太阳直射点向南移动过程中，日落时太阳方位逐渐偏南，所以日落时杆影渐偏北，A 正确。日内杆影转过角度与昼长有关，三个月内昼长逐渐变短，杆影转过角度变小，B 错误。太阳直射点向南移动，学校的正午太阳高度逐渐变小，正午杆影逐渐变长，C 错误。当太阳直射点位于南半球时，该地日出东南，日落西南，杆影不可能每日均能经过花坛③④（因为花坛③④在升旗台的南方），D 错误。故选 A。

【点睛】太阳方位和日影方位正好相反，随着太阳直射点的移动，日出、日落方位与日影方位发生变化，太阳高度角越大，日影越短。

10．B　　11．C　　12．A

【解析】10．根据材料“高空的雪花落入暖层融化为雨滴，再下落至地面冷冻层”可知，大气垂直方向为三层结构，自下而上为冷—暖—冷结构，ACD 错误，B 正确。故选 B。

11．根据材料“高空的雪花落入暖层融化为雨滴，再下落至地面冷冻层（-3～0℃）。受冻雨影响，长春气象站风速仪出现数据异常。”可知，冻雨发生时，风速仪出现数据异常，且近地面气温低于 0℃。图中显示，18 日 15 时左右风速较大，之后风速突然急剧减小，可知风速仪出现的数据异常，结合图中显示 18 日 15 时气温开始低于 0℃，可估算冻雨出现时间大致为 18 日 15 时左右，C 项正确；18 日 4 时气温高于 0℃，A 错误；18 日 12 时气温接近 0℃，但是风速在逐渐加大，说明风速仪正常，B 错误；19 日 3 时风速仪数据缺失，说明此时正在经历冻雨，D 错误。故选 C。

12．长春气象站冻雨发生时近地面气温低于 0℃，上方暖层气温高于 0℃，所以在模式图中要选择降水区、逆温区、逆温层气温极大值 0℃等温线以南（保证暖层温度高于 0℃）、地面 0℃等温线以北（保证近地面温度低于 0℃）四者重叠区域，故应选择在 1 处，A 正确；4 在逆温层气温极大值 0℃等温线以北，D 错误；3 处在逆温区边缘，且 2 和 3 位于地面 0℃

等温线以南，BC 错误。故选 A。

【点睛】冻雨是指当大气垂直结构呈上下冷、中间暖的状态时，从高空落下的雪花通过暖层化成雨滴，雨滴在靠近地面的冷气层时，迅速冷却至 0℃以下形成的天气现象。

13．B　　14．A　　15．B

【解析】13．因冰斗底部高度与其形成时当地的雪线高度基本相当，故冰斗自下而上依次形成，且图中冰斗①~⑧分三期形成，“F 为断层，它改变了冰斗③和⑤的原始位置”，即图中 F 断层改变了③⑤的位置，没有改变①的位置，即先形成③⑤冰斗，接着断层使③⑤的位置下移，断层稳定后形成①冰斗。所以断层发生在③冰斗形成之后，故冰斗形成顺序是第一期⑤⑥；第二期在⑤⑥之上，所以③④⑧在第二期，剩下的就在第三期，第三期：①②⑦，ACD 错误；故选 B。

14．前期气温低，冰川规模较大，侵蚀作用强烈，侵蚀形成了宽大的 U 形谷 A，后期，随着气温升高，冰川规模变小，冰川下切侵蚀，形成了嵌套在 U 形谷 A 中较窄的 U 形谷 B。所以 U 形谷 A 较 B 形成早，冰川活动规模大，后随气温升高冰川规模减小，BCD 错误；故选 A。

15．结合图示信息可知，冰斗成层分布，受外力破坏微弱，形态基本完好，结合材料“冰斗底部高度与其形成时当地的雪线高度基本相当”和目前雪线位于高山上部可知，冰川萎缩，说明雪线逐期上升，因此气候变化趋势是持续变暖，ACD；故选 B。

【点睛】冰川作用，广义上泛指冰川的生成、运动和后退。狭义上仅指冰川运动对地壳表面的改变作用，包括冰川的侵蚀、搬运和堆积。冰川地貌可分为冰川侵蚀地貌和冰川堆积地貌。冰川侵蚀地貌包括冰斗、角峰、槽谷、峡湾、岩盆等。冰川堆积地貌包括终碛垄、侧碛垄、冰碛丘陵等。

16．B　　17．C

【解析】16．由材料可知，G 村从事拆解电梯、贩卖废旧电梯金属品的活动，因 2015 年一家电梯公司从村民手中高价回收了电梯二手电子板，部分村民率先抓住商机，属于偶然机会，①正确；拆解电梯没有科技创新，②错误；随后几年，村内淘宝户数量爆发式增长，成为远近闻名的电梯淘宝村，得益于市场需求，与地理位置没关系，③正确，④错误；R 县 G 村早期主要从事农业种植和拆解电梯、贩卖废旧电梯金属品的活动，因此其电梯淘宝材产业基础与 R 县主流的服装产业存在“产业基础的地理隔离”，⑤正确，B 正确，ACD 错误。故选 B。

17．电子商务活动对经济重构、空间重构、社会重构都很明显，AB 错误；由于是产业孤岛，故只对 G 村重构作用明显，对 R 县其他地区不明显，C 正确，D 错误。故选 C.

【点睛】电商对于市场需求和交通物流依赖较大，具有区位选择灵活、成本低等优势，对区域经济重构、空间重构、社会重构具有较大作用。

18．A　　19．A　　20．C

【解析】18．某区域人口增长数量等于该区域某时段内人口自然增长数量与人口净迁移数量之和。由表中数据可以推知，甲地人口净迁出约 33 万，乙地人口净迁出约 16.7 万，丙地人口净迁出约 24.04 万，丁地人口净迁出约 24.67 万。四地中，人口净迁出数量最多的是甲地，故选 A 。

19． 从表中数据可知，甲地出生人口数量减去死亡人口数量，约等于 15.6 万人，说明其自然增长的人口数量为 15.6 万人，乙地人口自然增长的数量趋近于 0，根据俄罗斯大城市人口规模实际可排除乙地。丙、丁两地人口自然增长的数量负值，故甲地人口自然增长率最高。故选 A 。

20．从表中数据可知，四地都面临着不同程度的人口外迁现象，导致其人口数量减少，而人口外迁的主体又是青壮年劳动力，从而导致了四地人口老龄化程度的加剧，C 正确。青壮年

人口减少，其就业压力会减轻，人口流失会导致城区住房价格下降和城区环境质量有所改善，ABD 错误。故选 C。

【点睛】人口变动是由人口机械增长和人口自然增长决定的；机械增长的人口数=迁入人口数-迁出人口数；机械增长率=机械增长的人口数÷总人口数；人口增长率=自然增长率+机械增长率；机械增长率也叫人口迁移率、人口净迁移率。

21．B　　22．C

【解析】21．由图可知，上海的后郊区化是生产要素和居住要素向郊区转移或扩张的过程。阶段一在政策引导下工厂率先外迁，居住要素尚未开始迁移，早期的产业工人多居住在城区，去郊区上班，出现明显的逆向通勤；阶段二由于中心城区房价攀升，居住要素开始向郊区流动，虽然生产要素也在继续向郊区流动，但仍有较多岗位保留在中心城区，正向通勤突出；阶段三随着生产要素进一步向外转移，更多的郊区“类城市体”趋向职住平衡，正向通勤和逆向通勤都不突出。A、C、D 错误，故选 B。

22．上海市远郊区由于受中心城区辐射较小，更多职能需要独立配套，形成功能更加完善的“类城市体”；而近郊区更多依附于中心城区，功能受到限制，不易形成功能复合完善的“类城市体”，C 正确；与中心城市和近郊区相比，远郊区对周边辐射能力较弱，A 错误；生产成本、劳动力数量在近郊、远郊差异不大，B、D 错误。故选 C。

【点睛】影响城市内部空间结构的因素有：经济因素包括交通便捷程度和距城镇中心远近，经济因素是影响城镇内部空间结构的主要因素；历史因素历史背景影响城镇功能分区，城镇土地利用随历史而变化。环境因素包括大气污染、水污染和固体废弃物污染等；政治因素。

23．B　　24．C　　25．C

【解析】23．北京、深圳等沿海城市高学历人才发展机遇更好且就业机会多，长沙市高学历人才多迁出到这些城市，故①正确；近年来，长沙市收入增速快、产业升级加速、房价收入比低（房价增速低）、人才政策力度大等吸引了本省大量青年返乡生活和就业，②③错误；经济因素是人口迁移的主要因素，高房价带来的高生活成本，会驱动人口从高线级城市迁往低线级城市，长沙市收入增速快、产业升级加速，吸引人口迁入，④正确。故①④正确，故选 B。

24．湘西州和张家界市旅游资源丰富，旅游业发达，吸引了大量人口迁入从事旅游行业 ，故 C 正确；湘西州和张家界市地形崎岖，交通物流条件较差，A 错误；农村电商和工程建设不是该区域主导产业，排除 BD。故选 C。

25．长沙市应增强都市圈效应，扩大城市辐射能力，不断放宽落户政策，加大“抢人”力度，A 错误；郴州市表现为人口大量外迁，应加强从铸造业“傻大粗黑”到“高端化、绿色化、集约化”发展，使传统工业“脱胎换骨”，新旧动能转换提速，B 错误；怀化市实施科技型企业培育计划，大力推进高新技术企业做大做强，抢抓历史机遇，奋力建设创新创业之城，留住高学历人才，C 正确；随着大量人口的到来，湘西应加快土地用途置换，促进旅游业及相关产业发展，吸纳劳动力资源，D 错误。故选 C。

【点睛】影响人口迁移的因素有自然环境因素、社会经济因素和政治因素。自然因素包括气候、土壤、水和矿产资源；社会经济因素包括经济发展、交通和通信、文化教育及婚姻家庭；政治因素包括政策、战争、国家政治变革和政治中心改变等。其中经济因素对人口迁移的影响是主要的、经常起作用的因素。